

II-75 丘陵地流出モデルの適用比較

京都大学防災研究所 正員 永井 明博
〃 角屋 瞳

1. まえがき これまで各種の流出解析法が提案され、多くの流域に適用されてきてはいるが、それらの得失や相互関連性については必ずしも明確ではない。ここでは丘陵地の洪水流出を対象としてタンクモデル、貯留関数法及び雨水流モデルを適用し、上述の諸点について考察する。

2. 流域の概要 対象は京都市西部小畠川流域である。流域面積は 1.32 km^2 、主河道長は 1.6 km でその概要を図1に示す。

3. 流出解析 表1の降雨による4個の大中出水を対象とした。タンクモデル：直列4段とし定数は Powell の共役傾斜法¹⁾により、(1)式の目的関数の下で4洪水共通の値を求めた。

$$F = \sum | \log Q_o - \log Q_c | / \sqrt{Q_o} \equiv \sum | Q_o - Q_c | / \sqrt{Q_o} \rightarrow \min \quad \dots (1)$$

ここに Q_o ：実測流量、 Q_c ：計算流量。モデルの一例を図2に示す。貯留関数法：

有効雨量の算定には累加損失雨量曲線を用い、流量は(2)式を Runge-Kutta 法で解いて求めた。
 $dQ/dt = (r_e - Q_s)Q_s^{1/p} / K_p \quad \dots (2)$, ただし
 Q_s ：遅れ時間を考慮した直接流出量 (mm/hr) , r_e ：有効雨量 (mm/hr) ,
 K_p , p ; $S_e = K_p Q_s^{1/p}$ とおいた時の定数で、上述の最適化手法より求めた。 S_e ：見かけの流域貯留量 (mm)。また計算の安定条件として、一応(3)式の因解法での条件を用いた。
 $\Delta t \leq 2 K_p Q_s^{p-1} \quad \dots (3)$ 。 Q_s ：実測ピーク流量。

最適解として $S_e = 14.5 Q_s^{0.44}$ を得たが、実測の S_e ~

Q_s と対比すると図3のようである。雨水流モデル：有効雨量は累加損失雨量曲線から求め、等価粗度 N は到達時間より逆算して $N = 0.8 \text{ m}^{0.5} \text{ sec}$ とした。

上述3方法による解析結果の一例を図4に示す。再現性はいずれも十分といえろが、解析上の得失をまとめると表2のようである。

4. 考察 4-1貯留関数法, i) 表面流との関係：流域を単一ブロックにモデル化し河道の効果を斜面に含め、表面流の運動方程式を $R = R_g g^{\gamma}$ で表わすと $\gamma = p$ 。
 ここに R ：水深、 R_g ：単位幅当たりの流量。
 R , R_g ：定数。前述の最適化手法を用い、
 γ による目的関数 (F/F_0) の変化をみると雨水流モデルと同じ有効雨量の場合、最適値は 0.68 , $p = 0.6 \sim 0.8$ でよく適合する（図5）。この範囲は Manning 則と Che-

zy 則を含み、これら抵抗則の表面流モデルとしての妥当性を示している。またピーク時に流域最遠点の擾乱が下流端に到達すると仮定し、かつ Manning 則を認めるとき $K = 4.59 (N B)^{0.6}$... (4) となる。 B : 斜面長 (km) , N : 斜面勾配。下狩川では $K = 4.4$ で結果は良好だった。また洪水到達時間の理論式及び実

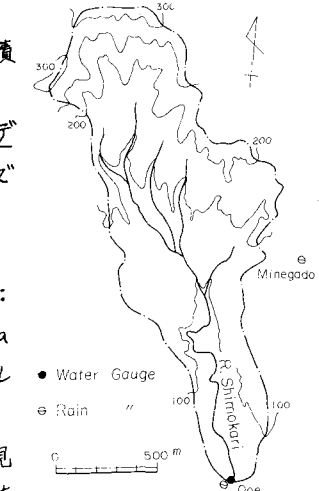


図1 流域の概要

表1 総雨量とその分布

	総雨量	雨量分布	雨量波形	用いたデータ
June 1969	196.0 mm	不明	不明	大枝
Sept. 1971	213.8	あり	差なし	流域平均値
Sept. 1972	143.0	なし	"	峰ヶ堂
Aug. 1975	132.0	若干あり	"	峰ヶ堂

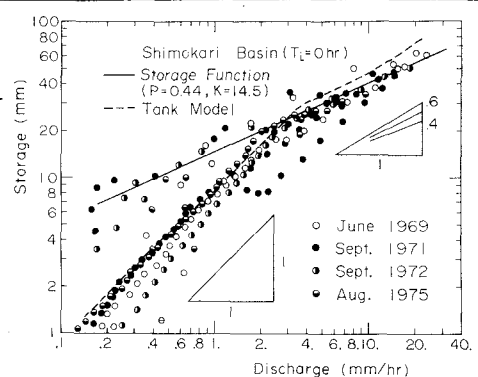


図2 タンクモデル

図3 流域貯留量と直接流出量の関係

用提案式²⁾はそれぞれ次式で表わされる。

$$t_p = \alpha K B^P r_e^{P-1} = \alpha (1+P) K r_e^{P-1} \quad \dots (5)$$

$$t_p = C A^{0.22} r_e^{-0.35} \quad \dots (6)$$

ここに A : 流域面積 (km^2), t_p : 洪水到達時間 (min), α : 単位換算係数。上式より $P = 0.65$, 下猪川では $K = 3.1$ が得られた。これら K の値は図 5 に示すように、最適な K に近い値となることわかる。ii) 中間流との関係: 図 3 で直接流出量が約 2 mm/hr で折れ点が見られ、それ以上で $P = 0.4 \sim 0.6$, 以下では $P = 1$ 。後者は中間流域であり, $S_e = K_e Q_e$ とおくと $1/K_e$ は低減係数 ($1/\text{hr}$) である。中間流出最大強度 r_a が 2 mm/hr とすれば、見かけの表層厚さ TD は $TD = r_a / K_e = K_e r_a$ $\dots (7)$ から約 17 mm となる。なお過水時間については今後の課題である。

4-2 タンクモデル: 図 2 の各タンクからの流出状況をみると 1 段は表面流と初期の中間流, 2 段は低減部の中間流, 3, 4 段は地下水流出分にはほぼ対応すると考えられる (図 4)。i) 1 段目の構造: $(R_1 - C_2)$ と Q_1 (図 6) をプロットすると図 3 中に示す曲線が得られた。実測の $S_e \sim Q_e$ と比較するとはほぼ平行になっているが, 2 段以下への供給分も含まれているので, 同一流量に対する貯留量は若干大きくなっている。洪水初期には $R_2 < C_3$ であり, 雨水流モデルでは初期はほとんど中間流であることを考えれば, Q_1 は初期の中間流に貢献すると思われる。ii) 2 段目の構造: 1 段目からの流出が終った時点 ($t=0$) について考察する。1 段目の水深を平均値 C' とおくと, $Q_2(t) = C' e^{-(a_3+b_2)t} + a_3(b_1 C' - b_2 C_3)/(a_3 + b_2) \dots (8)$ 第 2 項は一般に小 $\lambda_2 = 1/K_e \approx a_3 + b_2$ 。実測では $\lambda_2 = 0.12$, 図 2 のモデルでは 0.14 である。また 2 段から 3 段への供給量は $C' e^{-(a_3+b_2)t} + b_2(b_1 C' + a_3 C_3)/(a_3 + b_2) \dots (9)$ となる。

$C' = 0$ とすると第 2 項は一定値で, この場合 0.36 mm/hr 。最終浸透能 f_c と対応づけると, 従来の値では $f_c = 1.3$ (小猪川 0.74) mm/hr となっており若干異なるが, 大きな矛盾はないと考えられる。 C, C' は定数。更に $R_2 = Q_2(0) = a_3 R_2(0) - a_3 C_3$, $b_2 R_2(0) = f_c$ と考えると, $a_3 f_c / b_2 - a_3 C_3 = r_a$ となる。 $f_c = 1.3 \text{ mm/hr}$ を代入して $r_a = 2.2 \text{ mm}$ が得られ, 上の貯留係数による値と大差はない。また実測値をよく再現するタンクモデルはいくつか得られているが, 今までのところそのモデルの 1, 2 段について検討したところ, 上述とほぼ同様の関係が認められた。なお 3, 4 段の洪水流出に及ぼす影響は微小であった。

5. あとがき 残された多くの問題点の解決と共に, 上述の得失及び相互関連性が他流域でも成立するかは今後の課題としたい。参考文献 1) 小林・丸山, 地土論集 (65), 1976。
2) 角屋・福島, 京大防災研年報, 第 19 号 B-2, 1976。

表 2 各モデルの得失

	雨水流モデル	貯留係数法	タンクモデル
特徴	分布型	集中型	集中型
力学性	明確	ある程度明確	不明確
再現性	良	中~良	中
全体性	ピーチを合わせると 低減が早くなる	中	良
対処法	中間流を入れる	向の領域を入れる	流出孔を増す
低減曲線	肩くじ方がよい	低くとも方がよい	
有効雨量	デリケートな問題を含み易い		求めなくてよい
共通点	一樣降雨の時はよく合うが、分佈のある時は合わせにくい。		

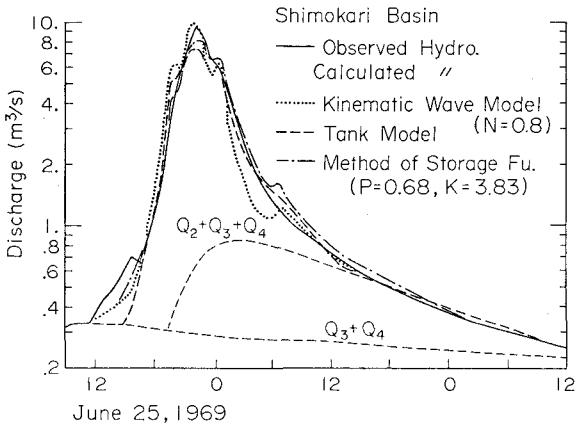


図 4 各モデルの計算値の比較

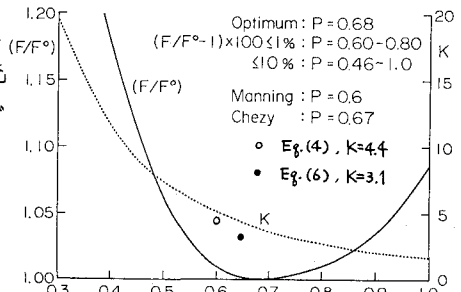


図 5 P による目的関数 (F/F_0) の変化と最適な K

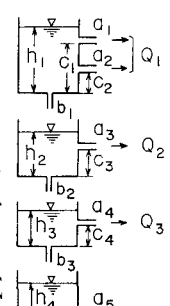


図 6 タンクモデル